

UNIVERSITAT POLITÈCNICA DE CATALUNYA

ESCOLA TÈCNICA SUPERIOR D'ENGINYERS AGRÒNOMS DE LLEIDA

MICROPROPAGACIÓ DE *Cynara scolymus* CV. "BLANCA DE TUDELA":

Condicionants del procés i aproximació a la
caracterització anatòmico-fisiològica en les diferents
fases de cultiu.

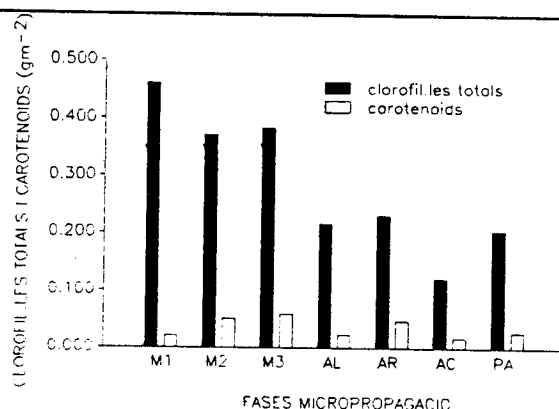
Tesi presentada per Núria Cañameras i Riba per optar al grau de Doctor Enginyer Agrònom. Dirigida pel Dr. Angel Mingo Castel.

Lleida, Juliol del 1990

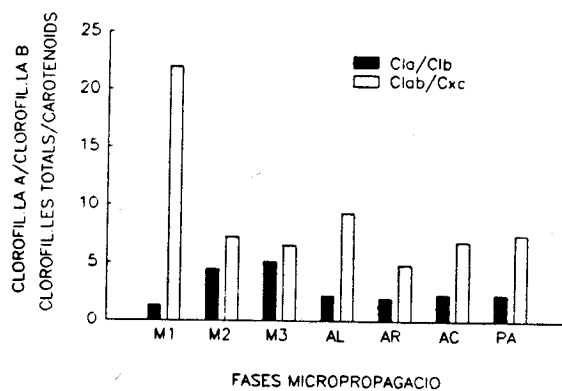
Taula - 55 Contingut pigmentari de la darrera fulla expandida en les diferents fases de la micropropagació i en la post-aclimatització (Cla: clorofil.la a; Clb: clorofil.la b; Clab: clorofil.les totals; Cxc: carotenoids; N: nitrogen).

Fase	Ca (gm ⁻²)	Cb (gm ⁻²)	Cab (gm ⁻²)	Cxc (gm ⁻²)	Ca/Cb	Cab/Cxc	Cab/N
M1 Multiplicació (20μEPARm ^{s-1})	0.2561 ab	0.2043 c	0.4604 b	0.0210 a	1.266 a	21.93 b	0.46 c
M2 Multiplicació (60μEPARm ^{s-1})	0.3018 bc	0.0678 ab	0.3696 b	0.0511 b	4.450 c	7.22 a	0.22 b
M3 Multiplicació (90μEPARm ^{s-1})	0.3202 c	0.0625 ab	0.3827 b	0.0591 b	5.124 c	6.47 a	0.21 b
AL Allargament	0.1470 ab	0.0677 ab	0.2147 a	0.0231 a	2.164 b	9.27 a	0.13 a
AR Arrelament	0.1515 ab	0.0795 abc	0.2310 a	0.0476 b	1.907 b	4.84 a	0.13 a
AC Aclimatització	0.0840 a	0.0372 a	0.1212 a	0.0178 a	2.260 b	6.80 a	0.07 a
PA Post aclimatització	0.1414 ab	0.0630 ab	0.2044 a	0.0274 a	2.280 b	7.45 a	0.11 a

Gràfic - 18 Contingut de clorofil.les totals i de carotenoids en la darrera fulla expandida en les diferents fases de la micropropagació i en la post-aclimatització (simbologia taula 55).



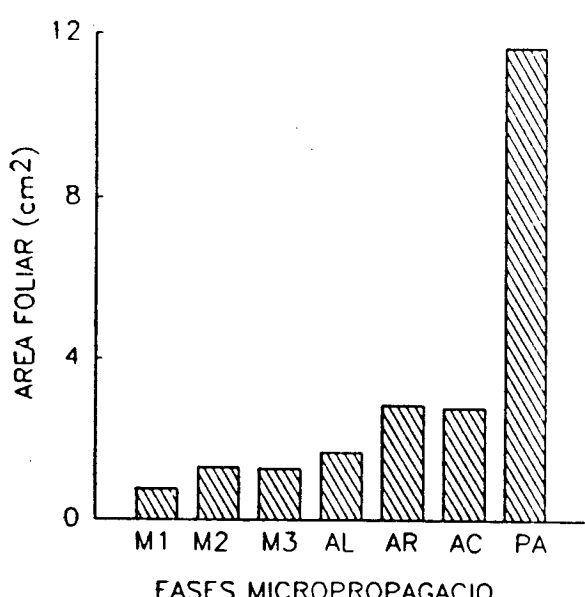
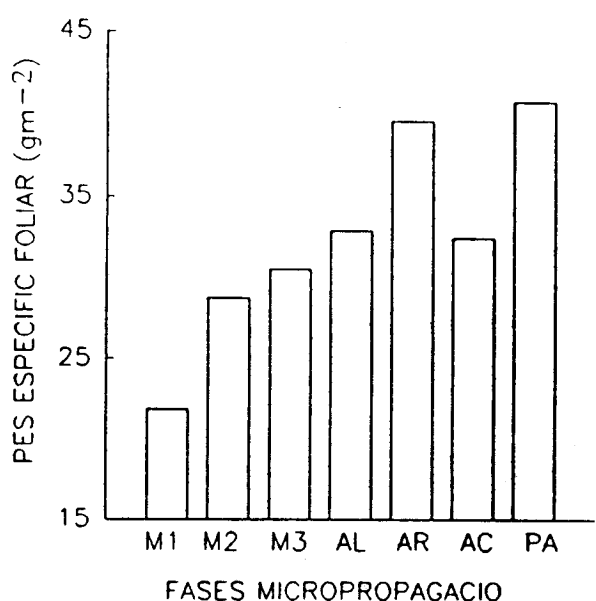
Gràfic - 19 Relacions Clorofil.la a/Clorofil.la b i Clorofil.les totals/Carotenoids en la darrera fulla expandida en les diferents fases de la micropropagació i en la post-aclimatització (Simbologia taula 55).



Taula - 56 Pes sec, àrea foliar, pes específic foliar (PEF) i contingut en nitrògen (N) de la darrera fulla expandida en les diferents fases de la micropropagació i en la post-aclimatització.

Fase	Pes sec (mg)	Àrea (cm ⁻²)	PEF (gm ⁻²)	N (gm ⁻²)
M1 Multiplicació (20 μ EPARm ^{-2 s⁻¹)}	1.7 a	0.757 a	21.840 a	1.01 a
M2 Multiplicació (60 μ EPARm ^{-2 s⁻¹)}	3.7 b	1.298 ab	28.787 b	1.67 bc
M3 Multiplicació (90 μ EPARm ^{-2 s⁻¹)}	3.8 b	1.275 ab	30.527 b	1.75 bcd
AL Allargament	4.8 b	1.683 b	32.923 b	1.59 b
AR Arrelament	6.9 c	1.849 b	39.557 b	1.79 cd
AC Aclimatització	8.1 c	2.802 c	32.461 b	1.88 d
PA Post aclimatització	42.7 d	11.650 d	40.726 b	1.72 bc

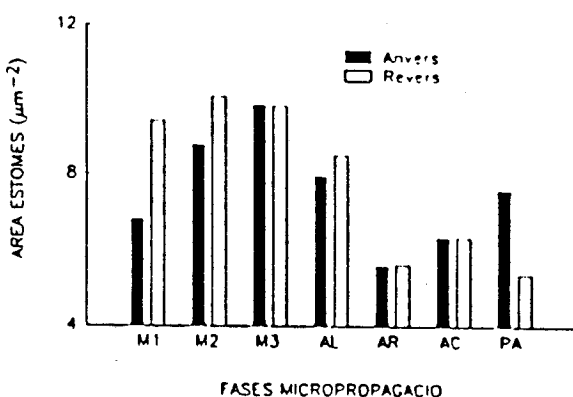
Gràfic - 20 Àrea foliar i pes específic foliar (PEF) en les diferents fases de la micropropagació i en la post-aclimatització (símbologia taula 56).



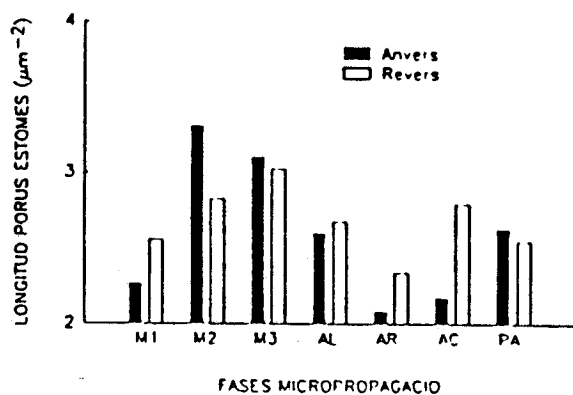
Taula - 57 Caracterització estomàtica de la darrera fulla expandida en les diferents fases de la micropropagació i en la post-aclimatització: àrea (μm^2) i longitud (μm) del porus.

Fase	Anvers		Revers	
	Àrea	Longitud	Àrea	Longitud
M1 Multiplicació ($20\mu\text{EPARm}^{-2}\text{s}^{-1}$)	6.87 a	2.26 a	9.41 a	2.55 a
M2 Multiplicació ($60\mu\text{EPARm}^{-2}\text{s}^{-1}$)	8.77 a	3.31 b	10.07 a	2.62 a
M3 Multiplicació ($90\mu\text{EPARm}^{-2}\text{s}^{-1}$)	9.83 a	3.10 b	9.81 a	3.02 a
AL Allargament	7.95 a	2.59 a	8.49 a	2.67 a
AR Arrelament	5.57 a	2.08 a	5.59 a	2.33 a
AC Aclimatització	6.31 a	2.17 a	6.30 a	2.79 a
PA Post aclimatització	7.58 a	2.62 a	5.34 a	2.54 a

Gràfic - 21 Àrea dels estomes presents en la darrera fulla expandida en les diferents fases de la micropropagació i en la post-aclimatització (simbologia taula 57).



Gràfic - 22 Longitud del porus dels estomes presents en la darrera fulla expandida en les diferents fases de la micropropagació i en la post-aclimatització (simbologia taula 57).



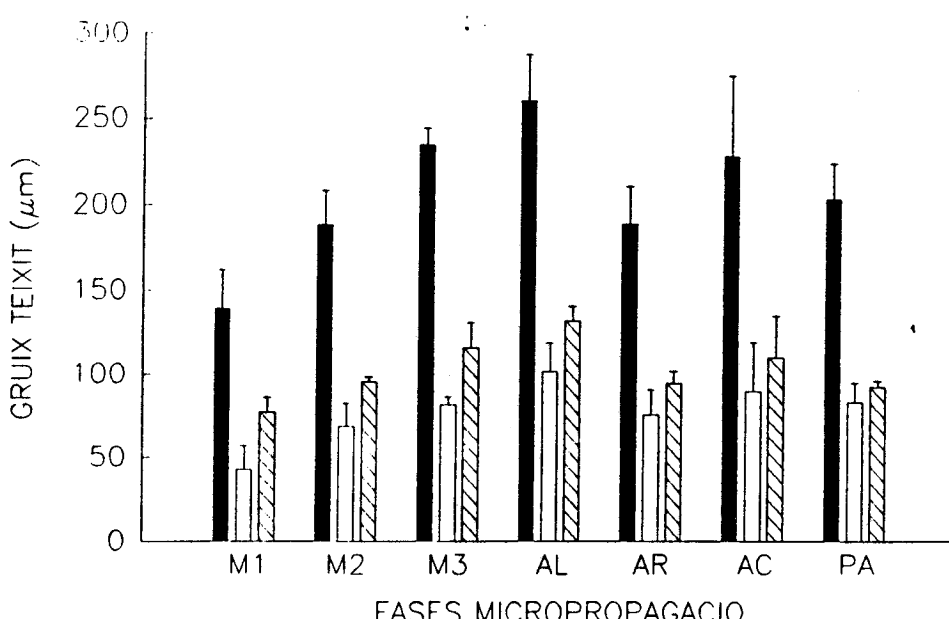
Taula - 58 Cruix mitjà dels teixits foliars en les diferents fases de la micropropagació i en la post-aclimatització.

Fase	Cruix total (μm)	Epidermis (μm)	Parènquima en palissada (μm)	Parènquima lacunar (μm)
M1 Multiplicació ($20\mu\text{EPARM}^{-2} \text{s}^{-1}$)	139 ± 23	19 ± 2	43 ± 14	77 ± 9
M2 Multiplicació ($60\mu\text{EPARM}^{-2} \text{s}^{-1}$)	188 ± 20	25 ± 4	68 ± 14	95 ± 3
M3 Multiplicació ($90\mu\text{EPARM}^{-2} \text{s}^{-1}$)	234 ± 10	38 ± 4	81 ± 5	115 ± 15
AL Allargament	260 ± 27	28 ± 2	101 ± 17	131 ± 9
AR Arrelament	188 ± 22	19 ± 2	75 ± 15	94 ± 7
AC Aclimatització	227 ± 47	28 ± 2	89 ± 29	109 ± 25
PA Post-aclimatització	202 ± 21	29 ± 3	82 ± 12	91 ± 4

Taula - 59 Estimació de la grandària relativa dels teixits en les diferents fases de la micropropagació i en l'aclimatització.

Fase	Epidermis (%)	Parènquima en palissada (%)	Parènquima lacunar (%)
M1 Multiplicació ($20\mu\text{EPARM}^{-2} \text{s}^{-1}$)	13.99 ± 0.96	30.32 ± 6.18	55.66 ± 5.29
M2 Multiplicació ($60\mu\text{EPARM}^{-2} \text{s}^{-1}$)	13.32 ± 1.04	35.67 ± 3.89	51.01 ± 4.45
M3 Multiplicació ($90\mu\text{EPARM}^{-2} \text{s}^{-1}$)	16.06 ± 1.34	34.87 ± 3.18	49.07 ± 3.40
AL Allargament	10.70 ± 0.47	38.41 ± 2.73	50.88 ± 4.24
AR Arrelament	10.08 ± 0.37	39.53 ± 3.45	50.39 ± 3.08
AC Aclimatització	13.04 ± 2.49	38.07 ± 4.95	48.88 ± 2.47
PA Post-aclimatització	14.34 ± 0.91	40.47 ± 3.37	45.19 ± 2.62

Gràfic - 23 Cruix dels teixits en les diferents fases de la micropropagació i en l'aclimatització (símbologia taula 58).



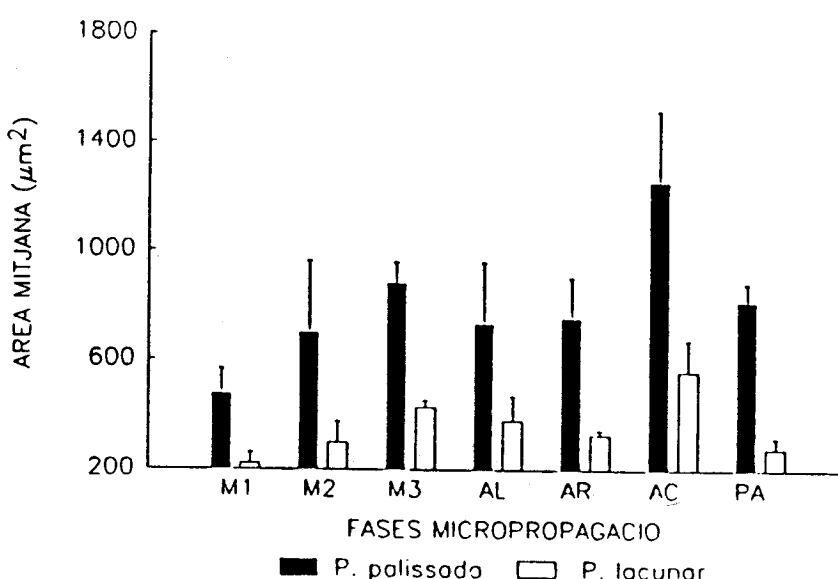
Taula - 60 Espais intercel.lulars i Volum relatiu dels parènquimes/Volum total foliar de la darrera fulla expandida en les diferents fases de la micropropagació i en la post-aclimatització.

Fase	Espais intercel.lulars (%)		Volum parènquima/Volum foliar (%)	
	Parènquima en palissada	Parènquima lacunar	Parènquima en palissada	Parènquima lacunar
M1 Multiplicació ($20\mu\text{EPARm}^{-2}s^{-1}$)	8.60 ± 1.58	26.14 ± 3.80	21.74 ± 3.29	29.52 ± 1.46
M2 Multiplicació ($60\mu\text{EPARm}^{-2}s^{-1}$)	9.54 ± 1.35	27.29 ± 3.33	26.13 ± 4.22	23.73 ± 1.10
M3 Multiplicació ($90\mu\text{EPARm}^{-2}s^{-1}$)	9.04 ± 1.50	23.08 ± 2.23	25.83 ± 3.46	25.84 ± 2.97
AL Allargament	12.27 ± 1.93	27.75 ± 4.77	26.14 ± 1.39	23.13 ± 1.64
AR Arrelament	13.43 ± 2.09	27.25 ± 1.32	25.93 ± 3.83	23.14 ± 1.57
AC Aclimatització	8.43 ± 1.46	24.79 ± 0.71	29.64 ± 2.86	24.09 ± 1.64
PA Post-aclimatització	13.16 ± 2.25	25.74 ± 3.96	27.31 ± 3.05	19.45 ± 2.15

Taula - 61 Area mitjana (μm^2) de la secció transversal cel.lular de la darrera fulla expandida en les diferents fases de la micropropagació i en la post-aclimatització.

Fase	P. en palissada	P. lacunar
M1 Multiplicació ($20\mu\text{Em}^{-2}s^{-1}$)	473 ± 93	223 ± 40
M2 Multiplicació ($60\mu\text{Em}^{-2}s^{-1}$)	698 ± 262	300 ± 76
M3 Multiplicació ($90\mu\text{Em}^{-2}s^{-1}$)	876 ± 78	428 ± 24
AL Allargament	728 ± 226	379 ± 89
AR Arrelament	750 ± 148	328 ± 18
AC Aclimatització	1253 ± 266	559 ± 114
PA Post-aclimatització	813 ± 68	280 ± 39

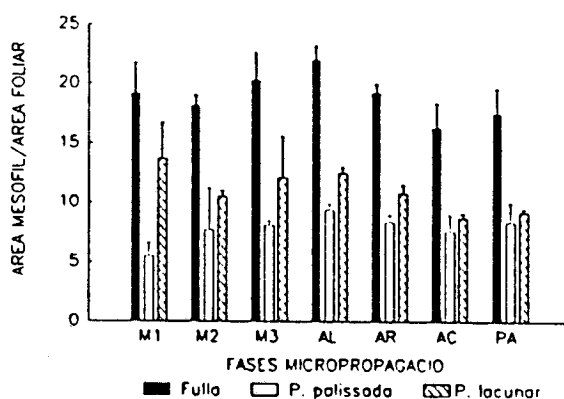
Gràfic - 24 Area mitjana de la secció transversal cel.lular de la darrera fulla expandida en les diferents fases de la micropropagació i en la post-aclimatització (simbologia taula 61).



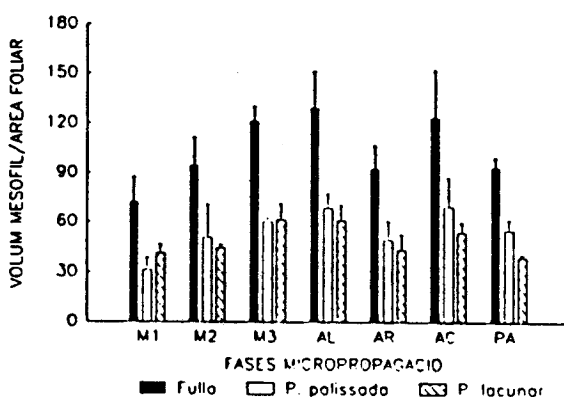
Taula - 62 Area i Volum del mesòfil/Area foliar en la darrera fulla expandida en les diferents fases de la micropropagació i en la post-aclimatització.

Fase	Area mesofil/Area foliar			Volum mesofil/Area foliar (μm)		
	Total	P.P.	P.L.	Total	P.P.	P.L.
M1 Multiplicació (20 $\mu\text{EPARM}^{-2} \text{s}^{-1}$)	19.1±2.6	5.5±1.1	13.7±3.0	72.1±14.9	31.1±7.7	41.0±5.4
M2 Multiplicació (60 $\mu\text{EPARM}^{-2} \text{s}^{-1}$)	18.1±0.9	7.7±3.5	10.5±0.5	94.5±16.9	50.4±20.0	44.2±2.2
M3 Multiplicació (90 $\mu\text{EPARM}^{-2} \text{s}^{-1}$)	20.3±2.3	8.1±0.4	12.1±3.5	120.8±8.8	59.8±2.5	61.0±9.7
AL Allargament	22.0±1.2	9.4±0.5	12.5±0.5	128.9±21.8	68.3±8.7	60.6±9.2
AR Arrelament	19.2±0.8	8.4±0.6	10.8±0.7	92.3±14.1	49.3±10.9	43.0±9.2
AC Aclimatització	16.3±2.1	7.6±1.4	8.7±0.4	122.7±29.0	69.3±17.7	53.4±6.0
PA Post-aclimatització	17.5±2.1	8.4±1.6	9.2±0.3	93.2±5.8	54.7±6.5	38.6±1.8

Gràfic - 25 Area mesofil/Area foliar en la darrera fulla expandida en les diferents fases de la micropropagació i en la post-aclimatització (símbologia taula 62).



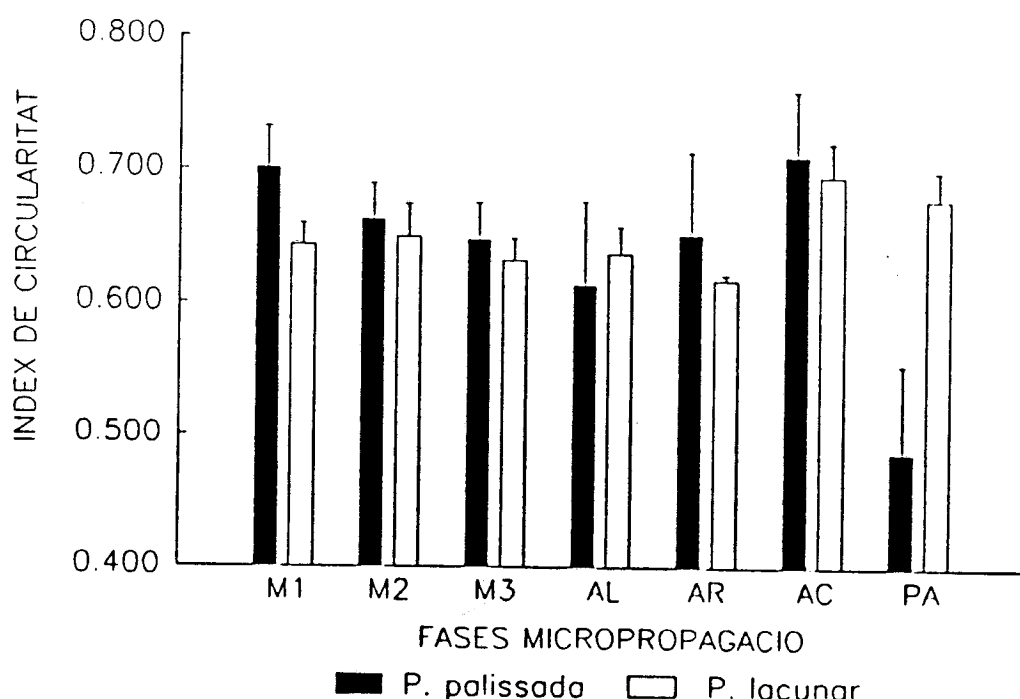
Gràfic - 26 Volum del mesòfil/Area foliar en la darrera fulla expandida en les diferents fases de la micropropagació i en la post-aclimatització (símbologia taula 62).



Taula - 63 Index de circularitat i cocient eix menor/eix major de la cel·lula en la darrera fulla expandida en les diferents fases de la micropropagació i en la post-aclimatització.

Fase	Index de circularitat		Eix menor/Eix major	
	P. palissada	P. lacunar	P. palissada	P. lacunar
M1 Multiplicació (20 μ EPARm ⁻² s ⁻¹)	0.701 ± 0.031	0.643 ± 0.016	0.777 ± 0.027	0.745 ± 0.008
M2 Multiplicació (60 μ EPARm ⁻² s ⁻¹)	0.662 ± 0.028	0.649 ± 0.025	0.746 ± 0.012	0.746 ± 0.026
M3 Multiplicació (90 μ EPARm ⁻² s ⁻¹)	0.647 ± 0.028	0.632 ± 0.016	0.719 ± 0.006	0.723 ± 0.011
AL Allargament	0.614 ± 0.062	0.637 ± 0.020	0.724 ± 0.032	0.730 ± 0.010
AR Arrelament	0.651 ± 0.063	0.618 ± 0.004	0.679 ± 0.048	0.730 ± 0.019
AC Aclimatització	0.711 ± 0.049	0.696 ± 0.025	0.752 ± 0.028	0.749 ± 0.022
PC Post-aclimatització	0.487 ± 0.068	0.678 ± 0.022	0.641 ± 0.048	0.742 ± 0.011

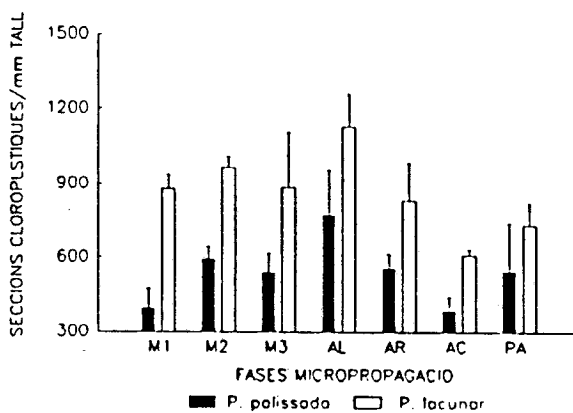
Gràfic - 27 Index de circularitat de les cel·lules parènquimàtiques de la darrera fulla expandida en les diferents fases de la micropropagació i en la post-aclimatització (simbologia taula 63).



Taula - 64 Variació del nombre de cloroplasts i de la densitat cloroplàstica en el parènquima en palissada i en el parènquima lacunar.

Fase	Núm. seccions cloroplàstiques		Núm. seccions cloroplàstiques	
	mm tall		mm pared cel.lular	
	P. palissada	P. lacunar	P. palissada	P. lacunar
M1 Multiplicació (20 μ Em $s^{-2} \cdot m^{-1}$)	393 ± 79	882 ± 56	73 ± 4	130 ± 5
M2 Multiplicació (60 μ Em $s^{-2} \cdot m^{-1}$)	593 ± 51	965 ± 43	78 ± 4	130 ± 23
M3 Multiplicació (90 μ Em $s^{-2} \cdot m^{-1}$)	540 ± 77	887 ± 217	72 ± 11	131 ± 21
AL Allargament	772 ± 183	1129 ± 130	81 ± 17	119 ± 8
AR Arrelament	556 ± 58	832 ± 154	69 ± 8	100 ± 21
AC Aclimatització	385 ± 55	608 ± 26	52 ± 5	87 ± 20
PA Post-aclimatització	544 ± 195	731 ± 91	62 ± 6	97 ± 2

Gràfic - 28 Seccions cloroplàstiques en el mesòfil de la darrera fulla expandida en les diferents fases de la micropropagació i en la post-aclimatització (símbologia taula 64).



Gràfic - 29 Densitat cloroplàstica del mesòfil de la darrera fulla expandida en les diferents fases de la micropropagació i en la post-aclimatització (símbologia taula 64).

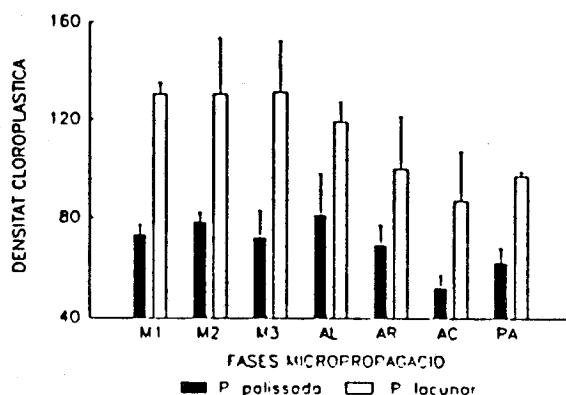
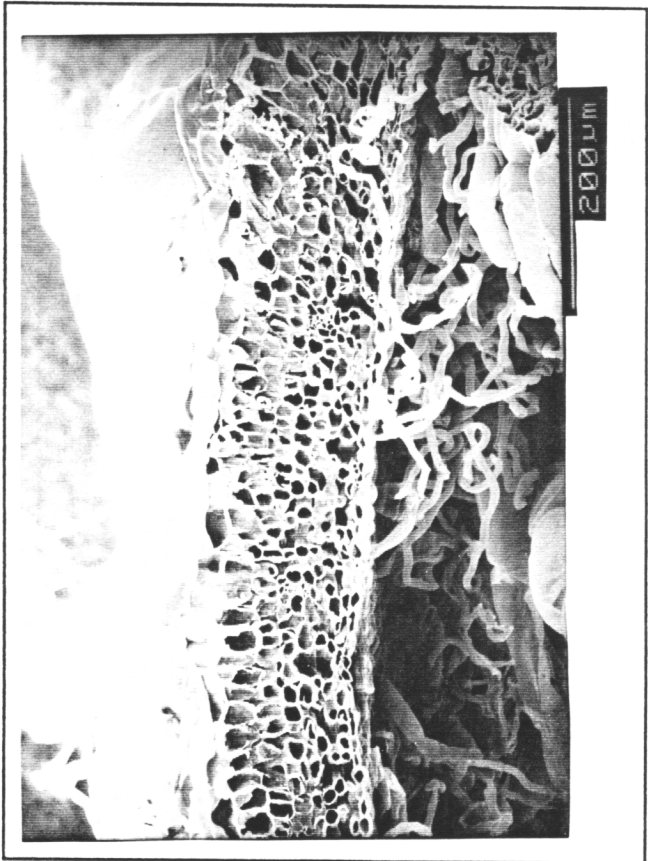
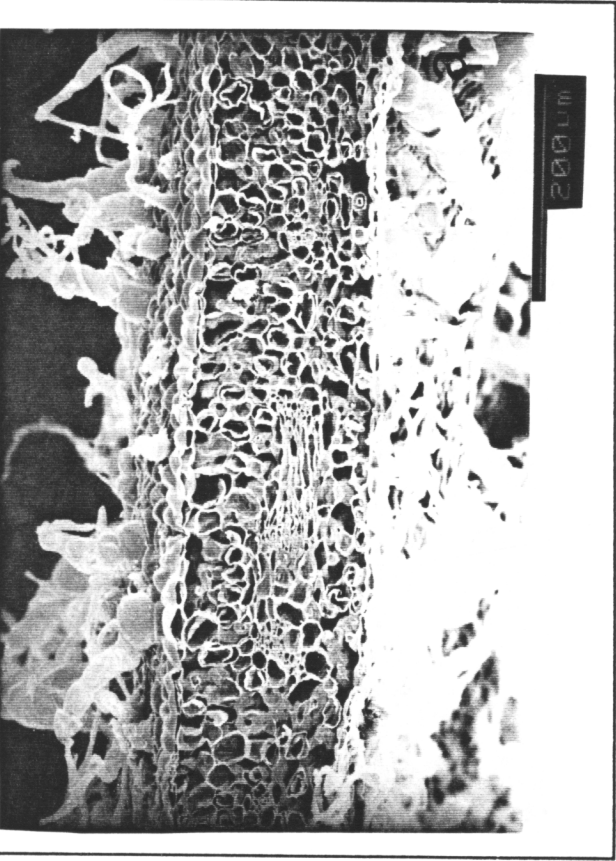
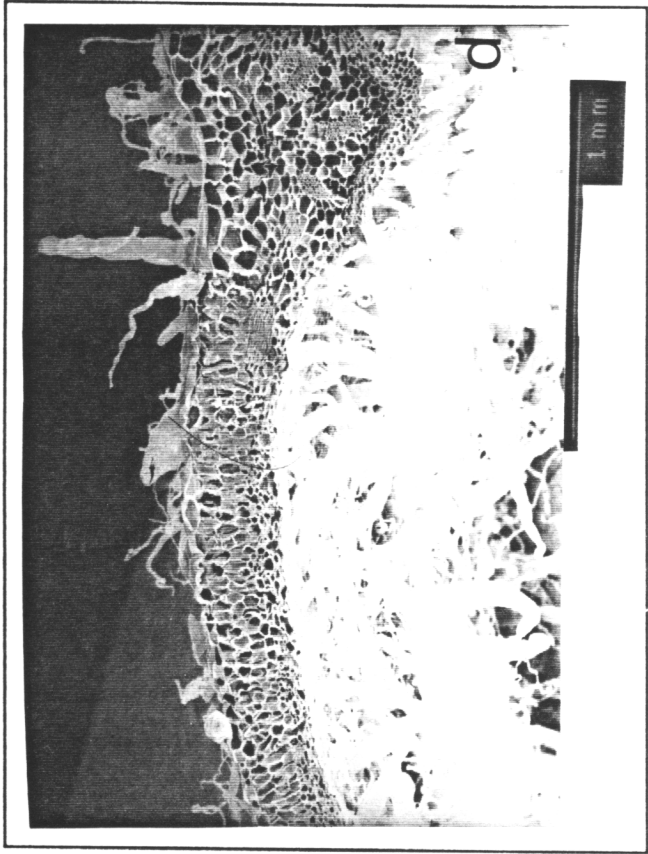
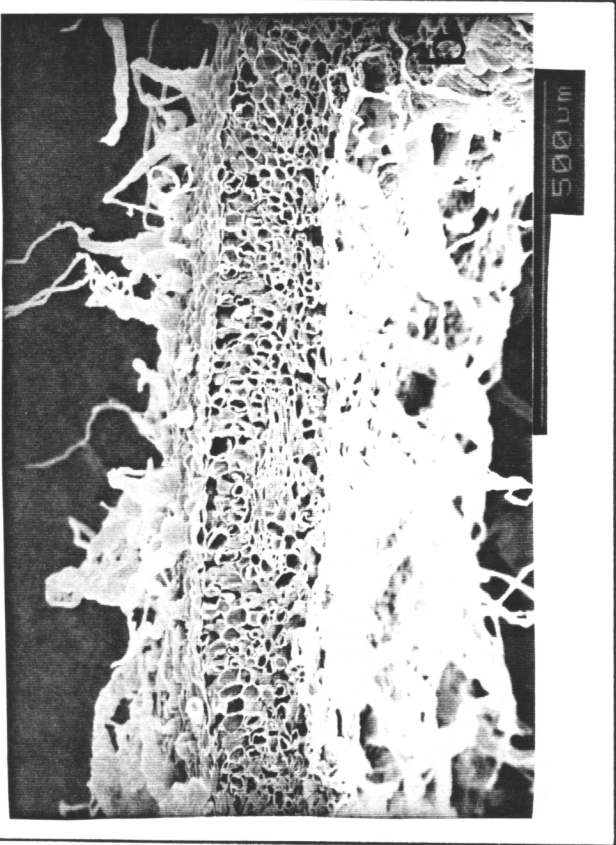


Figura 1 - Microfotografies de tall transversal de la darrera fulla expandida de *Cynara scolymus* reallitzades amb microscopia d'escombrat: (a) i (b) fase de multiplicació, (c) i (d) fase d'aclimatització.



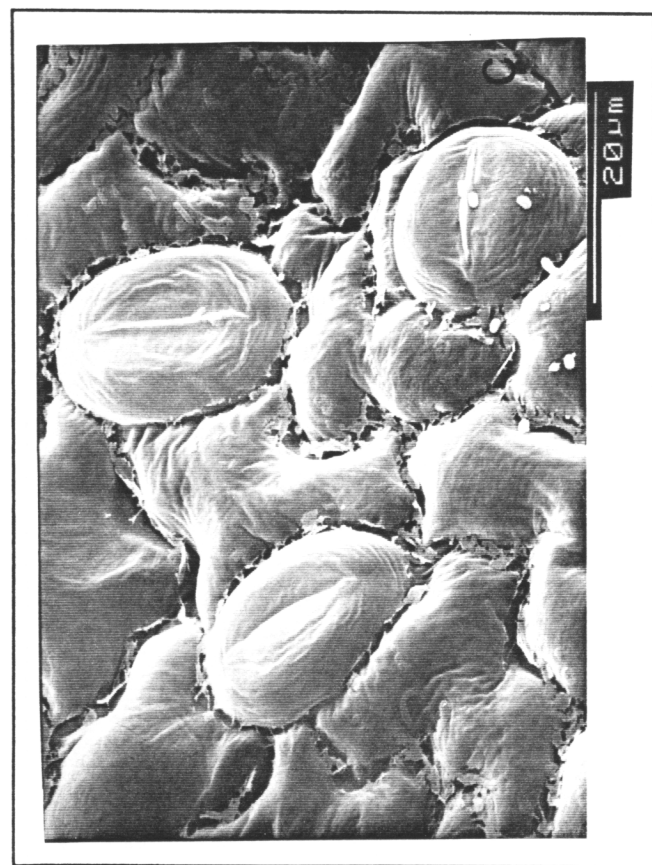
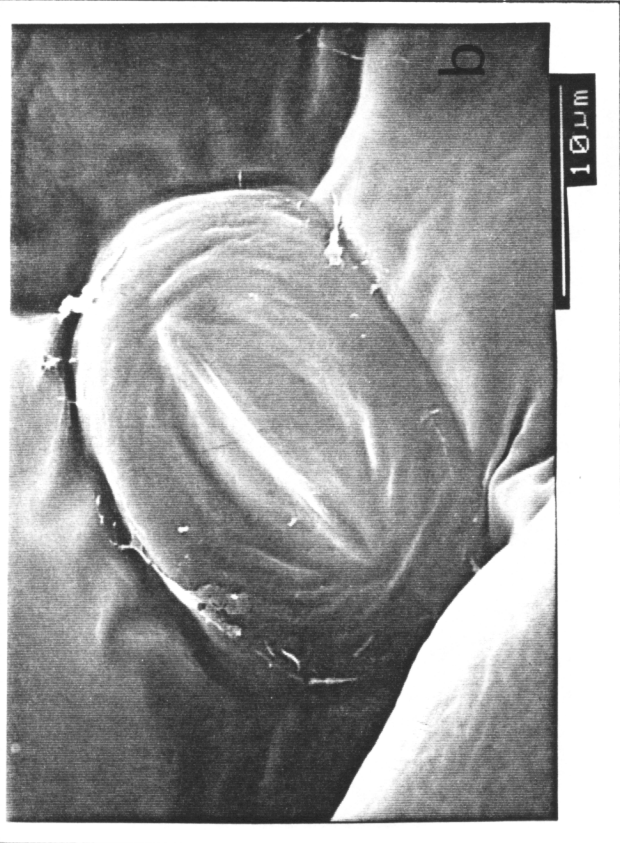


Figura 2 - Microfotografies d'estomes de *Cynara scolymus* realitzades amb microscòpia d'escombrat en la fase de multiplicació: (a) i (b) cares adaxials i (c) cara abaxial.

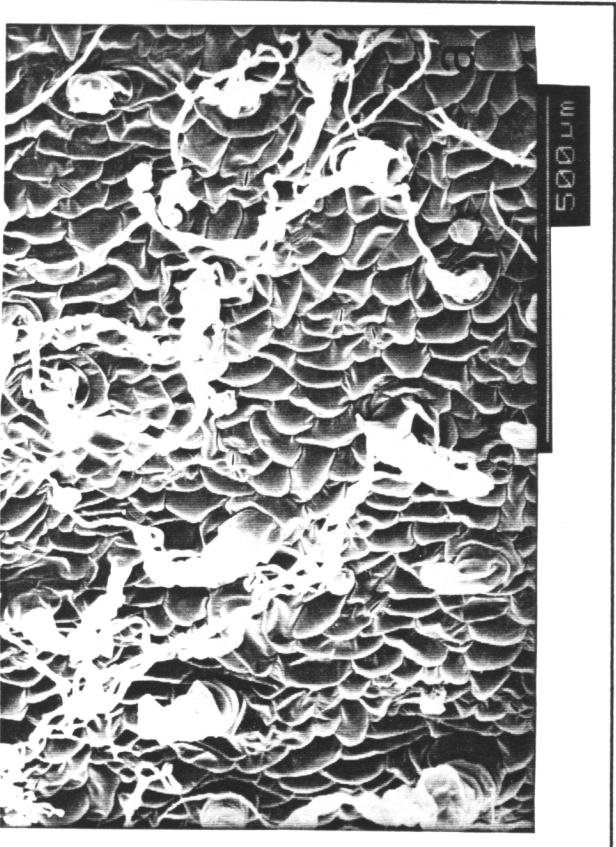
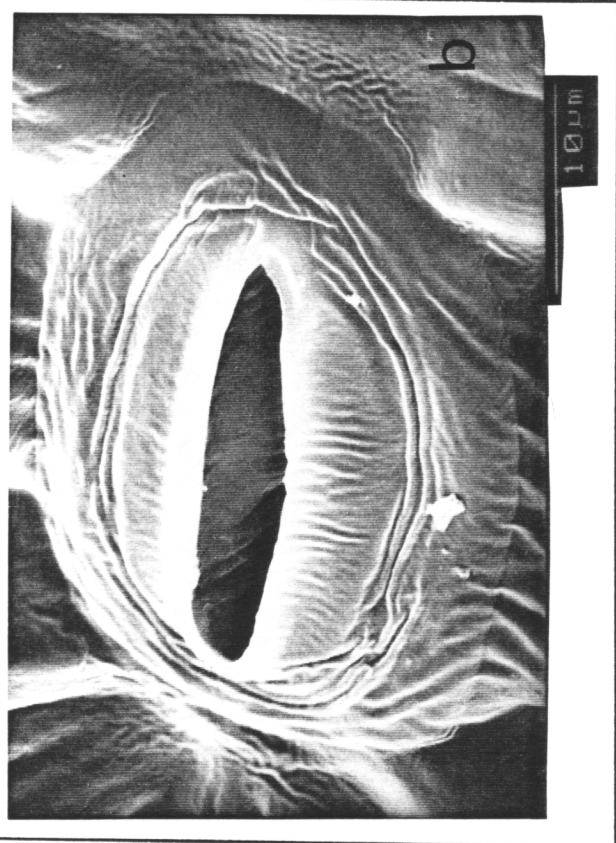


Figura 3 - Microfotografies d'estomes de *Cynara scolymus* realitzades amb microscòpia d'escombrat en la fase d'aclimatització: (a) i (b) cares adaxials i (c) cara abaxial.

Figura 4 - 100 μm 
Talls transversals de la darrera fulla expandida de *Cynara scolymus* en fase de multiplicació sota diferents règims d'irradiància: (a) 20 $\mu\text{EPARm}^{-2}\text{s}^{-1}$, (b) 60 $\mu\text{EPARm}^{-2}\text{s}^{-1}$, (c) 90 $\mu\text{PARm}^{-2}\text{s}^{-1}$

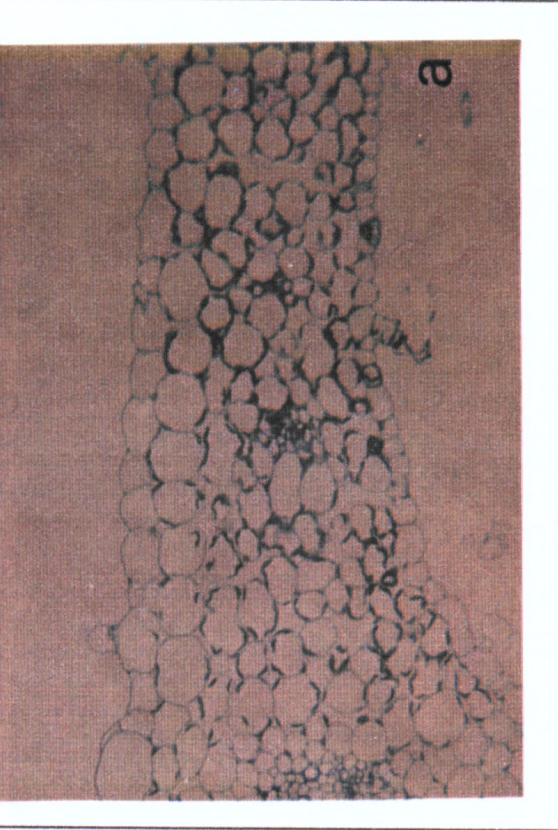
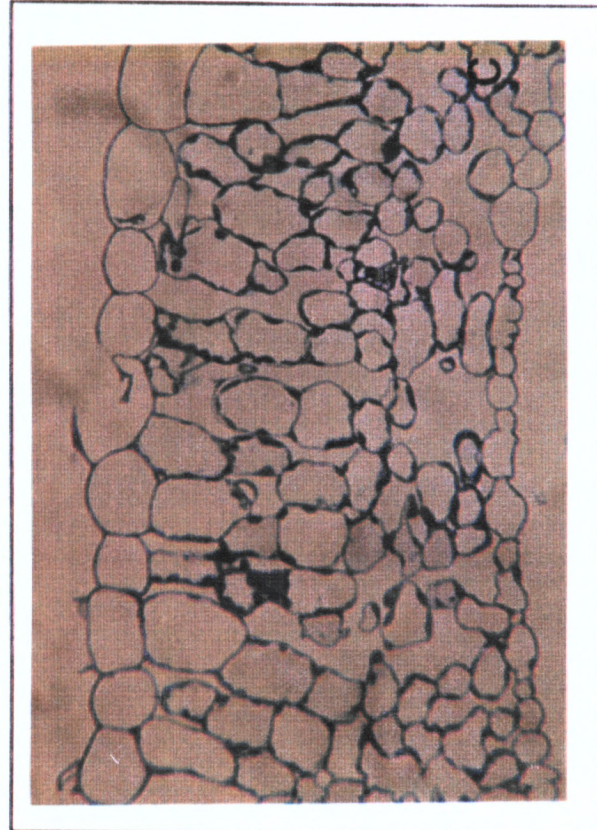
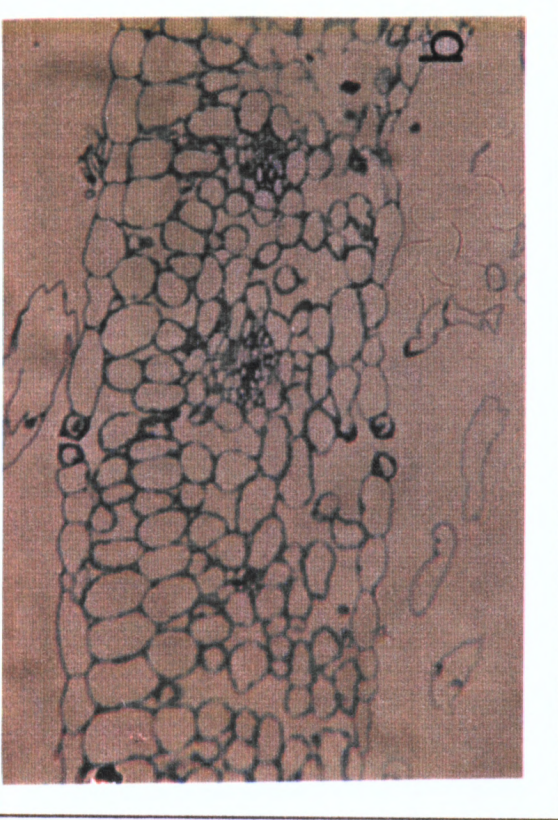


Figura 5 - Talls transversals de la darrera fulla expandida de *Cynara scolymus* en fases post-multicació:
(a) allargament, (b) arrelament, (c) aclimatització, (d) post-aclimatització (100 μm ).

